

UTILIZAÇÃO DE MODELAGEM NUMÉRICA PARA O ESTUDO DA DISPERSÃO DE POLUENTES EMITIDOS PELA USINA TERMOELÉTRICA PRESIDENTE MÉDICI

Sheila Radann Paz e Rita Cássia Marques Alves

Centro Estadual de Pesquisas em Sensoriamento Remoto e Meteorologia, Universidade Federal do Rio Grande do Sul, CP 15044, 91501-970 Porto Alegre - RS, Brasil

Elba Calesso Teixeira* e Juliana Braga Dallarosa

Fundação Estadual de Proteção Ambiental Henrique Luís Roessler/RS, Rua Carlos Chagas, 55, 90030-020 Porto Alegre - RS, Brasil

Os resultados da análise sinótica realizada para o período de 20 a 25/4/2004 podem ser visualizados nas Figuras 1S a 6S

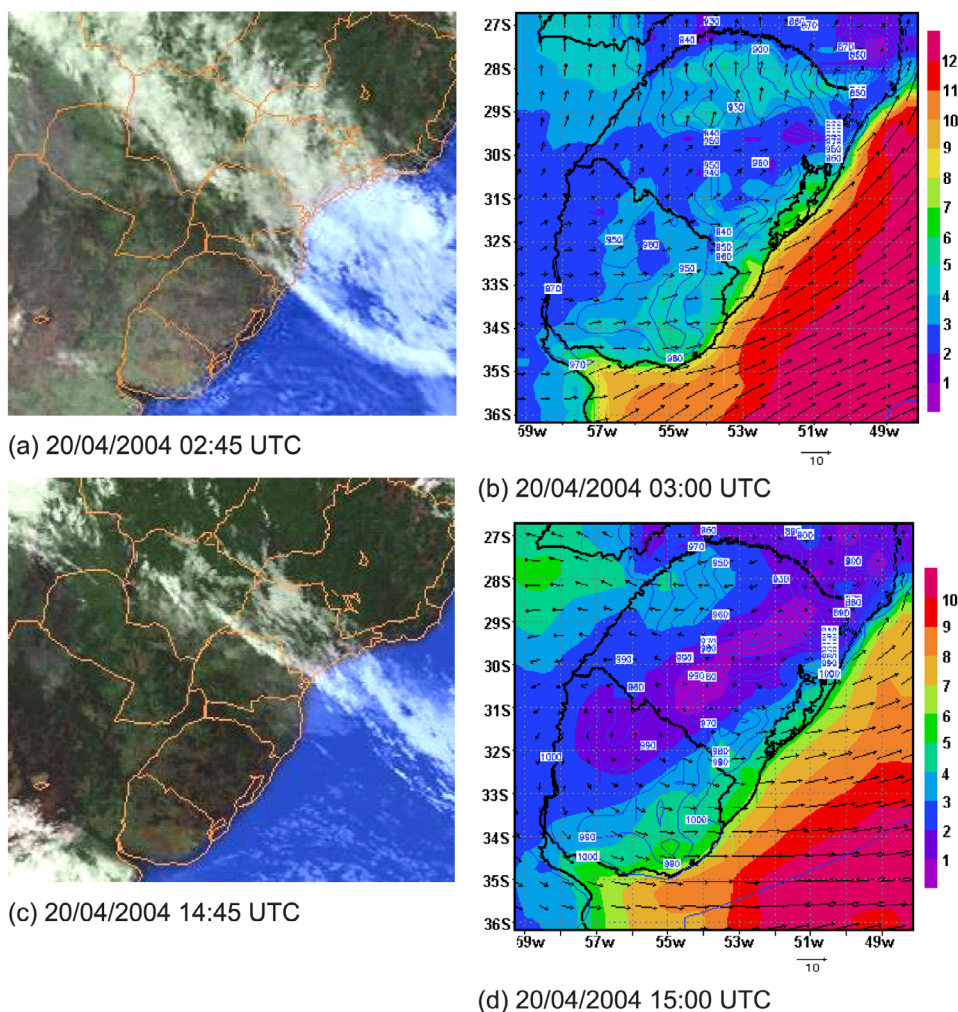


Figura 1S. Imagem do satélite GOES-12 (coluna da esquerda) e evolução do campo do vento ($m s^{-1}$) e pressão atmosférica em hPa (coluna da direita) em nível de 13,4 m acima da superfície. Em (a) 02:45, em (b) 03:00, em (c) 14:45, em (d) 15:00 UTC do dia 20/4/2004. As barras em cores indicam a magnitude do vento

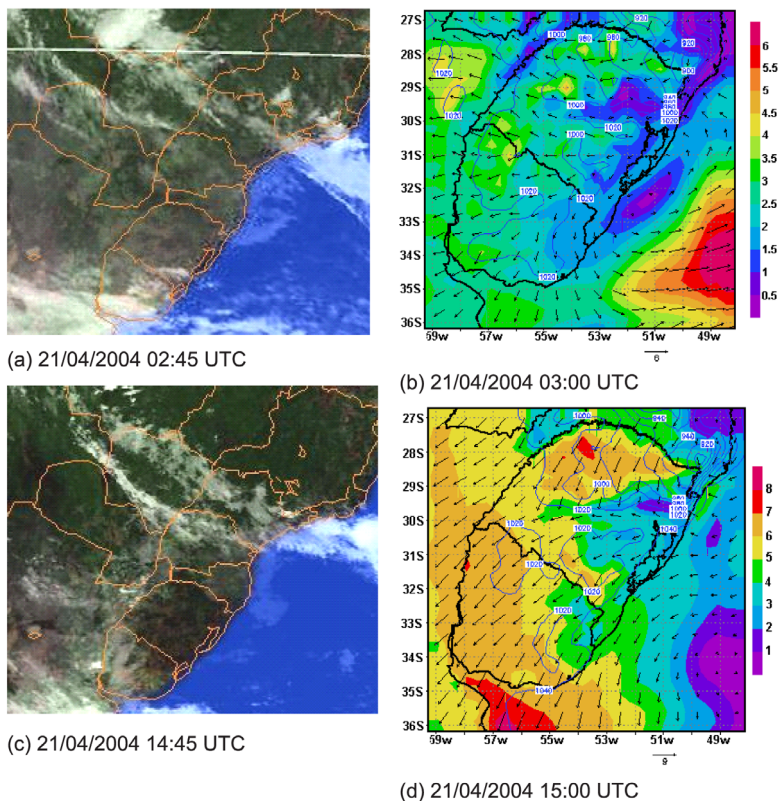


Figura 2S. Imagem do satélite GOES-12 (coluna da esquerda) e evolução do campo do vento ($m s^{-1}$) e pressão atmosférica em hPa (coluna da direita) nível de 13,4 m acima da superfície. Em (a) 02:45, em (b) 03:00, em (c) 14:45, em (d) 15:00 UTC do dia 21/4/2004. As barras em cores indicam a magnitude do vento

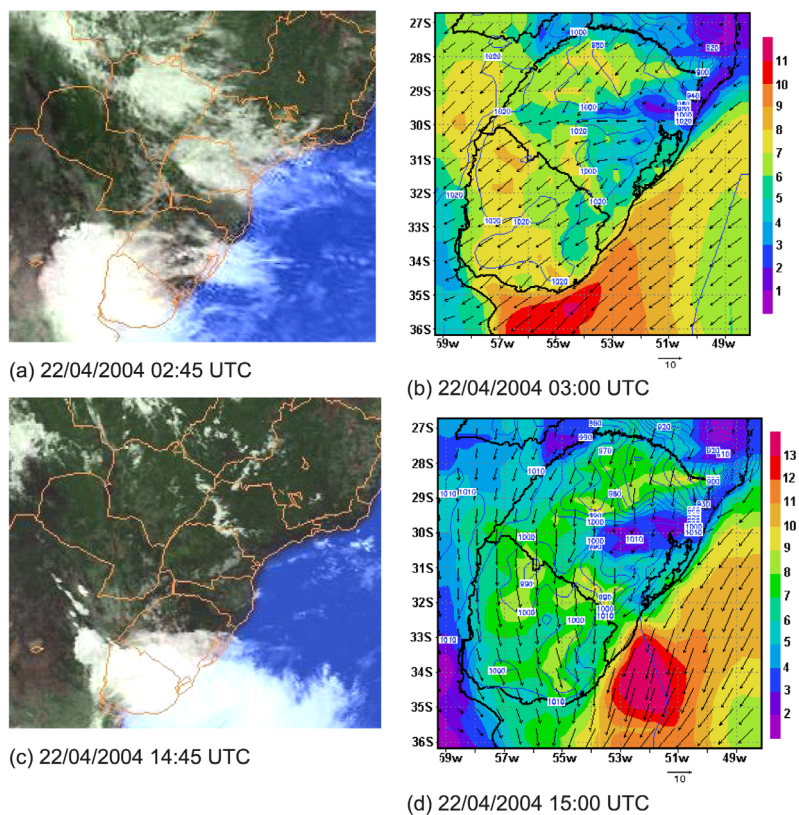


Figura 3S. Imagem do satélite GOES-12 (coluna da esquerda) e evolução do campo do vento ($m s^{-1}$) e pressão atmosférica em mb (coluna da direita) em nível de 13,4 m acima da superfície. Em (a) 02:45, em (b) 03:00, em (c) 14:45, em (d) 15:00 UTC do dia 22/4/2004. As barras em cores indicam a magnitude do vento

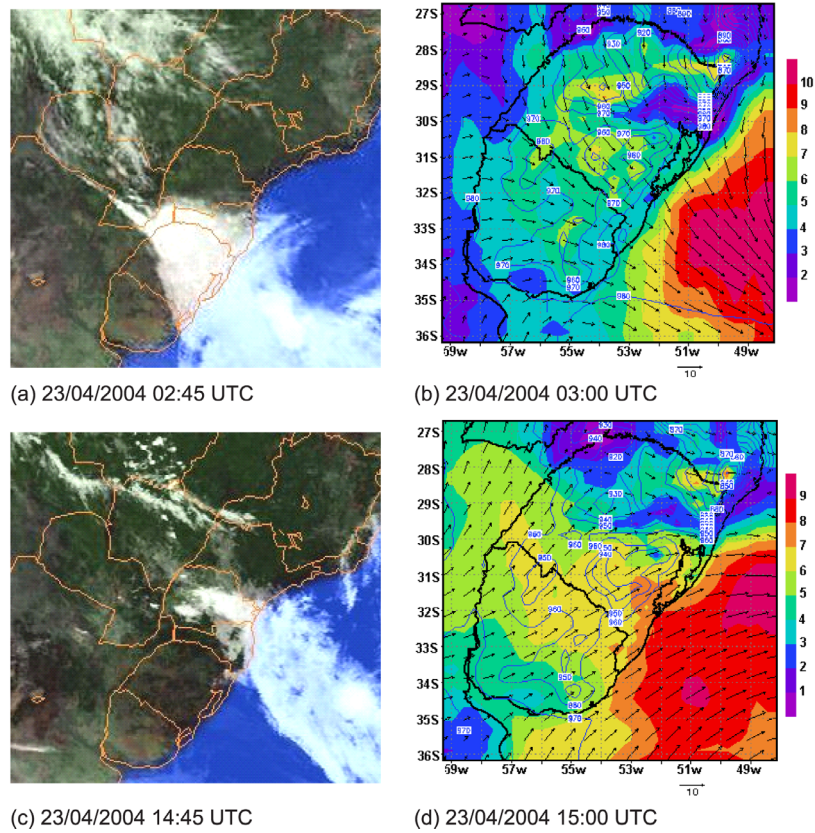


Figura 4S. Imagem do satélite GOES-12 (coluna da esquerda) e evolução do campo do vento ($m s^{-1}$) e pressão atmosférica em mb (coluna da direita) em nível de 13,4 m acima da superfície. Em (a) 02:45, em (b) 03:00, em (c) 14:45, em (d) 15:00 UTC do dia 23/4/2004. As barras em cores indicam a magnitude do vento

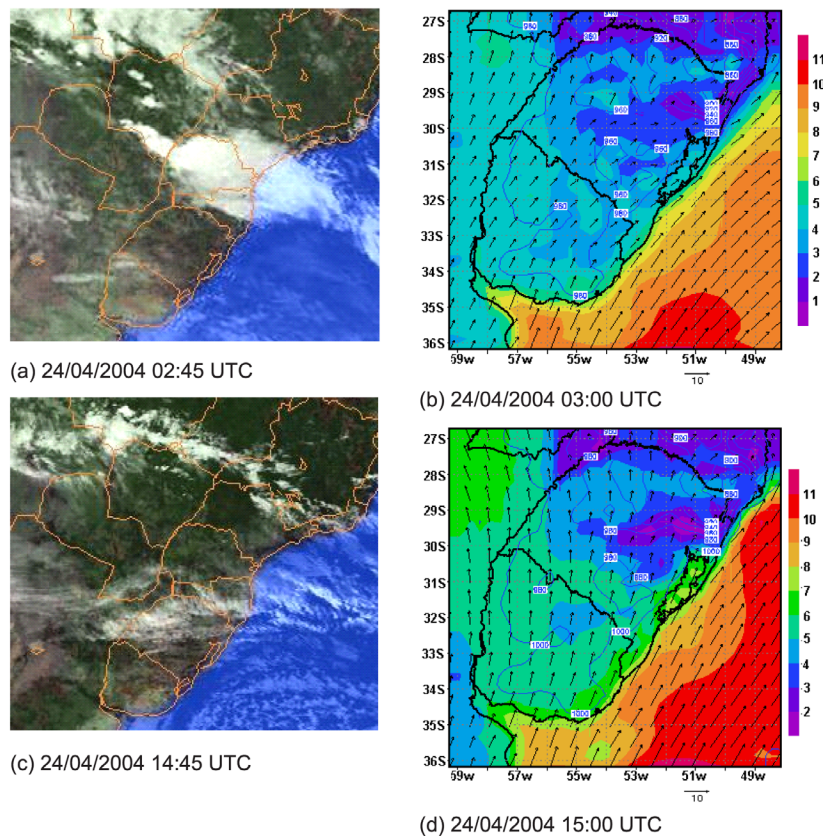


Figura 5S. Imagem do satélite GOES-12 (coluna da esquerda) e evolução do campo do vento ($m s^{-1}$) e pressão atmosférica em mb (coluna da direita) em nível de 13,4 m acima da superfície. Em (a) 02:45, em (b) 03:00, em (c) 14:45, em (d) 15:00 UTC do dia 24/4/2004. As barras em cores indicam a magnitude do vento

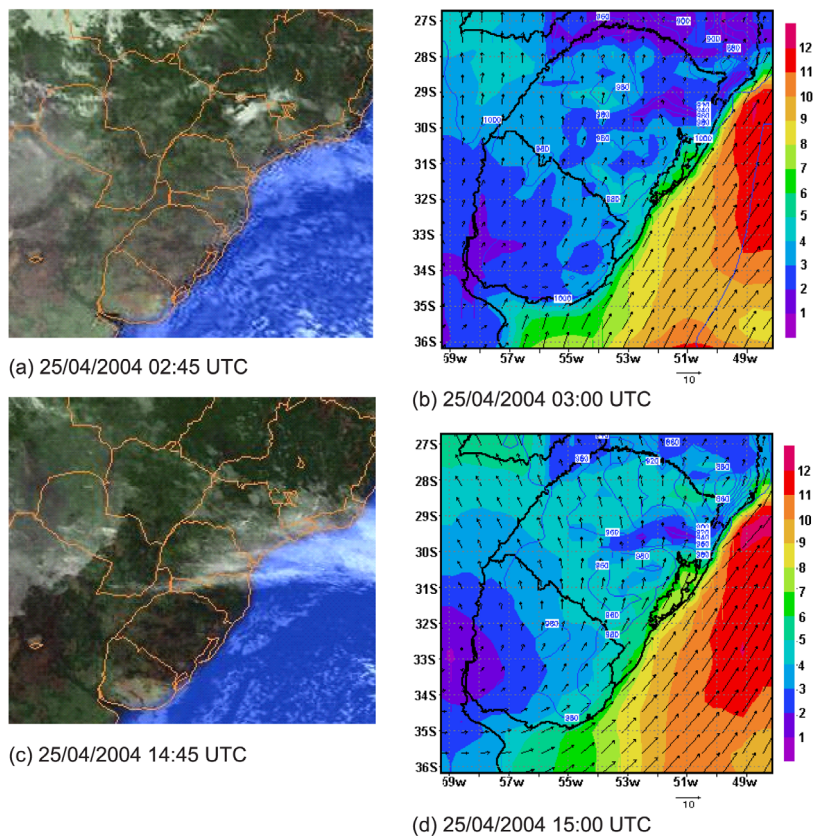


Figura 6S. Imagem do satélite GOES-12 (coluna da esquerda) e evolução do campo do vento (m s^{-1}) e pressão atmosférica em mb (coluna da direita) em nível de 13,4 m acima da superfície. Em (a) 02:45, em (b) 03:00, em (c) 14:45, em (d) 15:00 UTC do dia 25/4/2004. As barras em cores indicam a magnitude do vento

As Figuras 7S a 12 S mostram resultados simulados das concentrações médias diárias de PM_{10} , SO_2 e NO_x expressos em mg m^{-3} , para o período estudado.

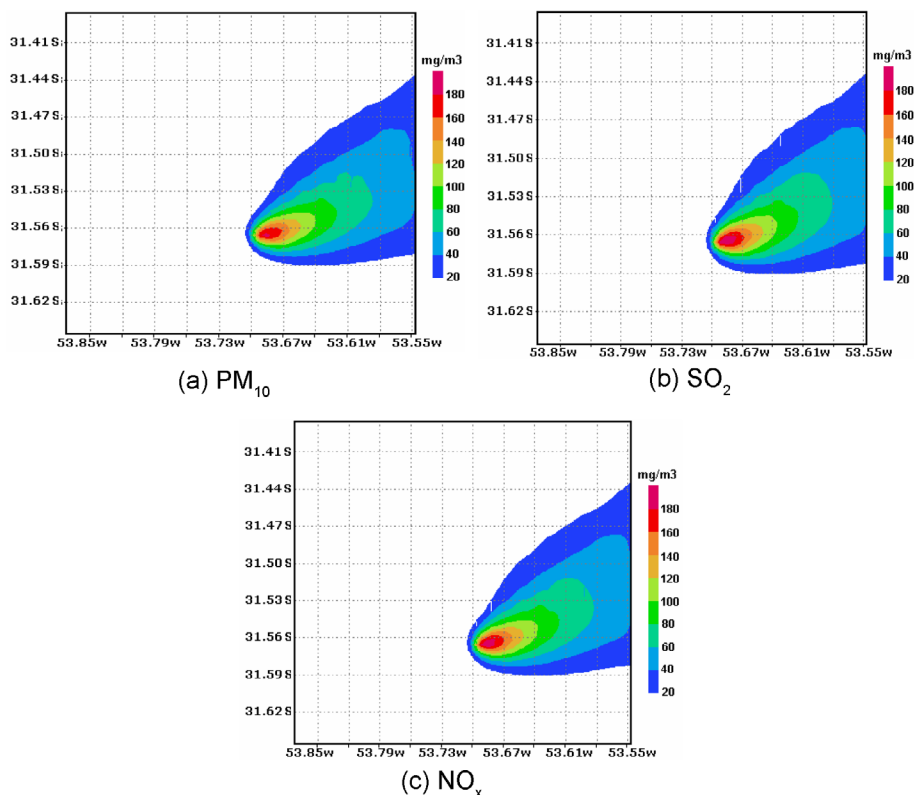


Figura 7S. Concentração média de PM_{10} (a), SO_2 (b) e NO_x (c) para o dia 20/4/2004

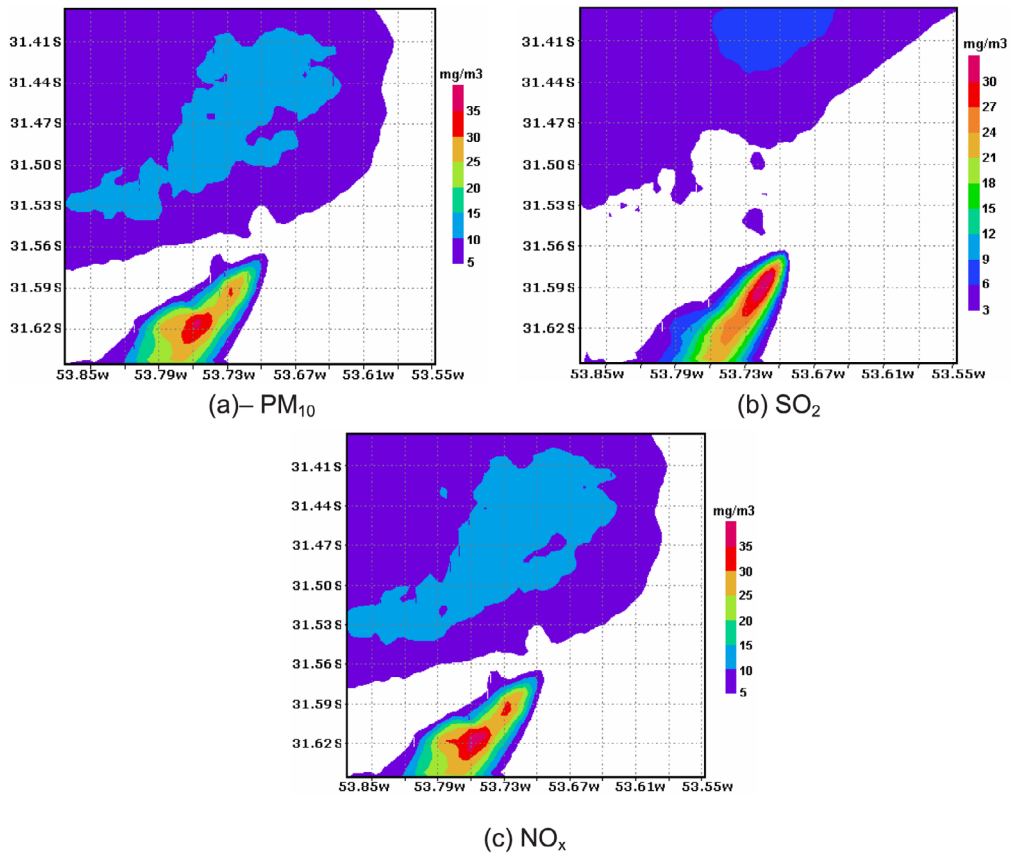


Figura 8S. Concentração média de PM_{10} (a), SO_2 (b) e NO_x (c) para o dia 21/4/2004

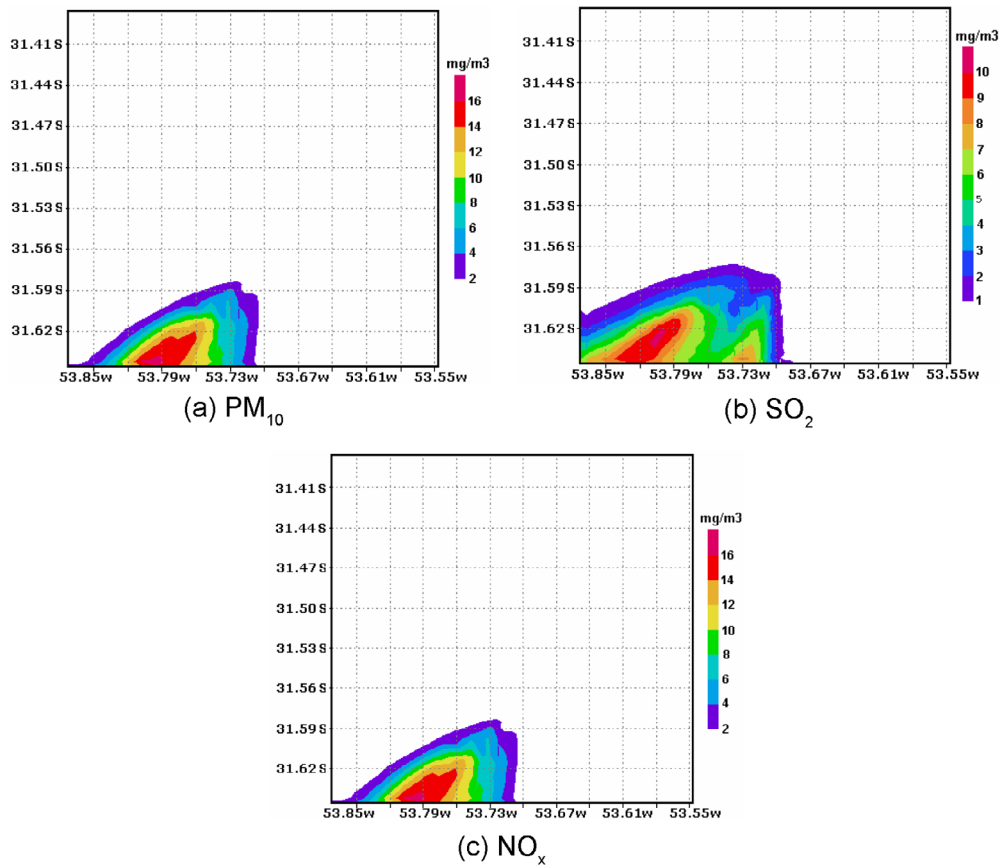


Figura 9S. Concentração média de PM_{10} (a), SO_2 (b) e NO_x (c) para o dia 22/4/2004

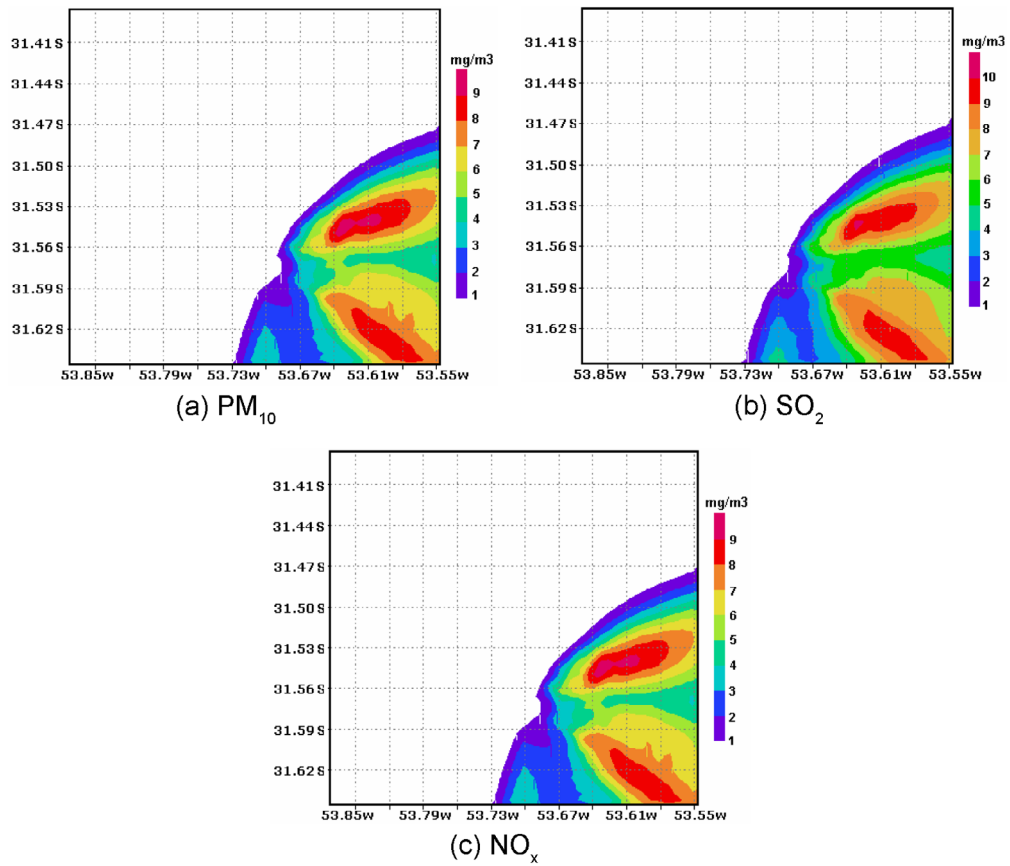


Figura 10S. Concentração média de PM_{10} (a), SO_2 (b) e NO_x (c) para o dia 23/4/2004

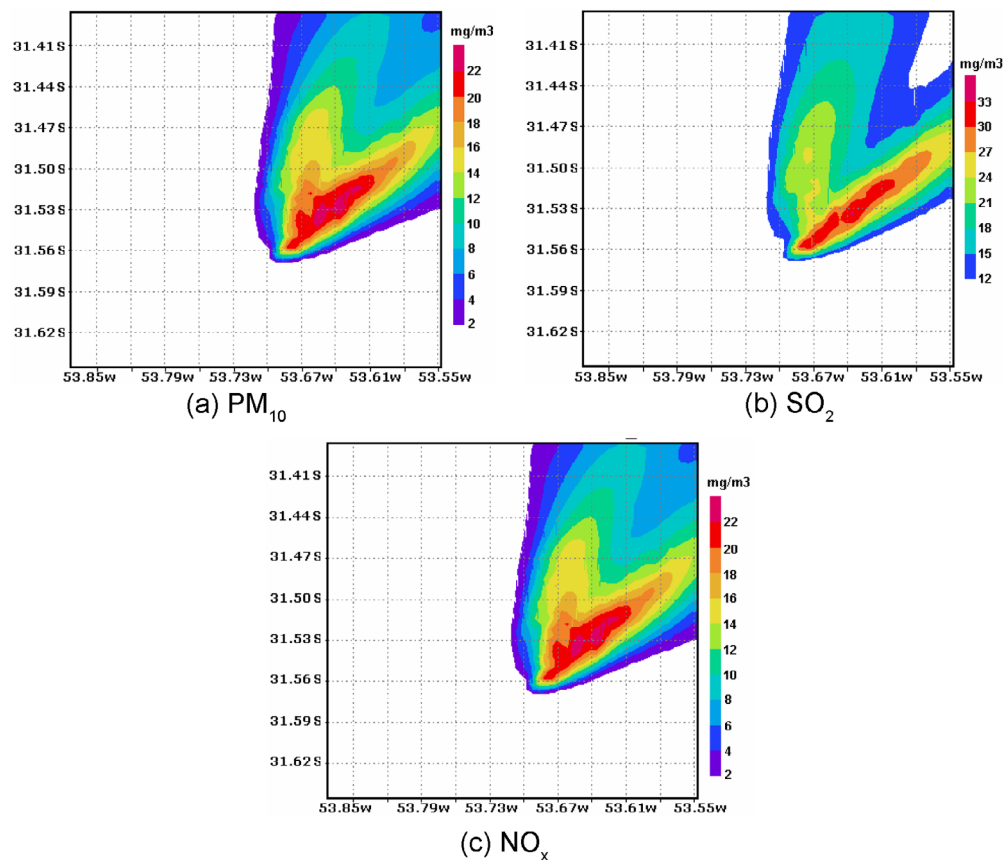


Figura 11S. Concentração média de PM_{10} (a), SO_2 (b) e NO_x (c) para o dia 24/4/2004

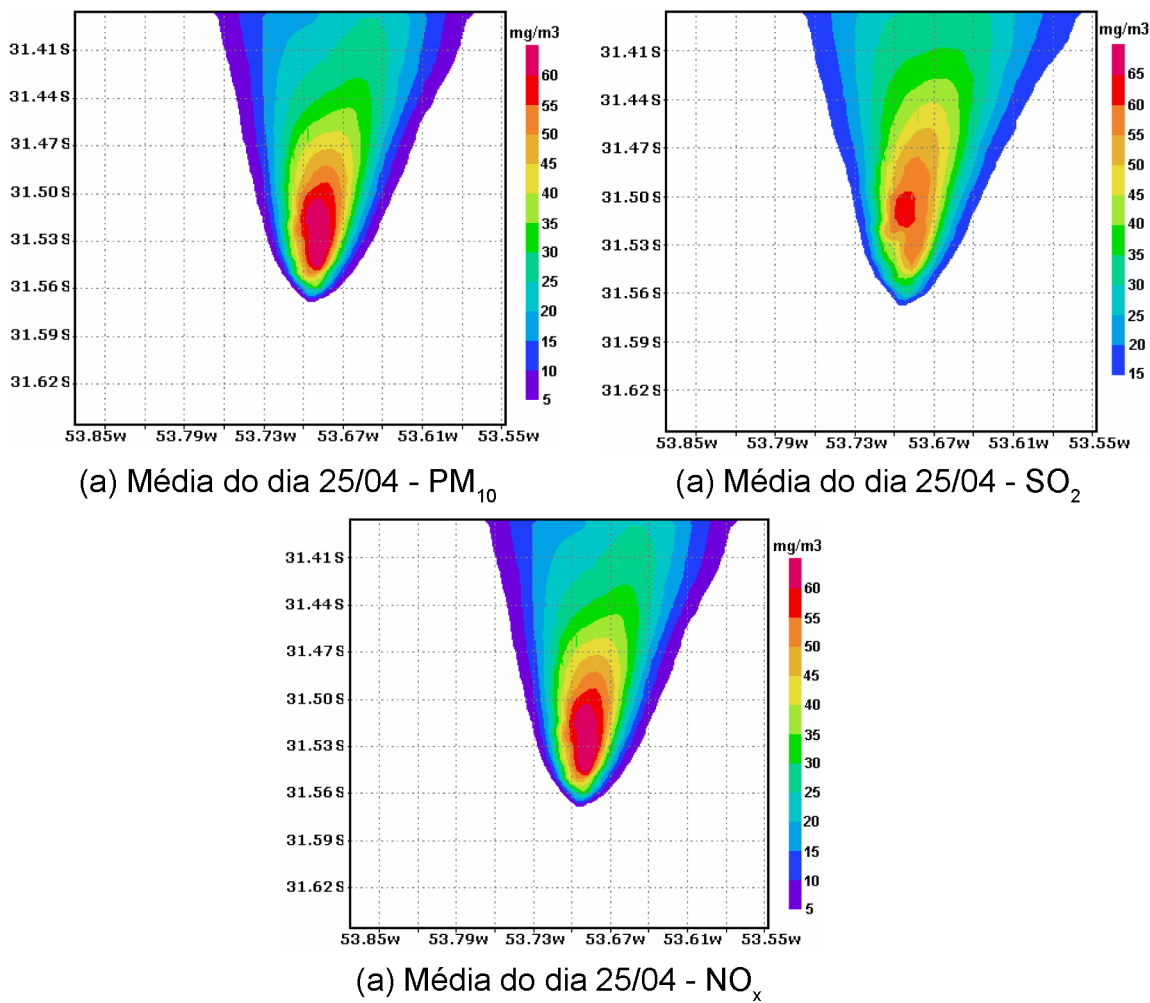


Figura 12S. Concentração média em μm de PM_{10} (a), SO_2 (b) e NO_x (c) para o dia 25/4/2004